

Как отмечено в [3], степень нестационарности течения характеризуется не только числом Струхала, но и соотношением между начальным и конечным значениями скорости тела.

Исследовано торможение сферы от числа Маха  $M=50$  до  $M=10, 5, 2$  за время  $T=0,06$ . Скорость при  $0 \leq t \leq T$  менялась по закону (2.1)

При торможении до  $M=10$  и  $5$  принципиального изменения основных характеристик не наблюдается. На фиг. 5 показана величина отхода ударной волны от тела при торможении до  $M=2$ . Сплошная и штриховая линии получены при расчетах в областях  $2$  и  $1$  соответственно. Следует отметить, что при расчетах в области  $1$  ударная волна движется от тела и вообще не выходит на стационарный режим.

Рассмотрим возникающее течение более подробно. Напомним, что на границе  $EF$  (фиг. 1) ставились «мягкие» условия. При стационарном обтекании газ пересекает границу справа налево со сверхзвуковой скоростью. Однако при торможении тела относительная скорость газа (на  $EF$ ) падает, а в некоторых случаях (например, при торможении от  $M=50$  до  $2$  за  $T=0,06$ ) меняет свой знак на обратный, т. е. газ на линии  $EF$  начинает двигаться слева направо. Тогда вместо условия сверхзвукового вытекания газа получаются условия вдува через границу  $EF$ . Это создает физически неверную картину течения.

Полученные результаты дают возможность оценить влияние расчетной области на параметры течения. В большинстве случаев расчет в области  $1$  дает хорошие локальные характеристики в ударном слое, для вычисления же интегральной величины  $C_x$  необходимо использовать область  $2$ . Следует также отметить, что существуют нестационарные режимы торможения тел, при которых расчет в области  $1$  вообще не корректен.

Автор благодарен В. П. Стулову за руководство работой и обсуждение результатов.

#### ЛИТЕРАТУРА

1. Петров Г. И., Стулов В. П. Движение больших тел в атмосферах планет // Космические исследования. 1975. № 4. С. 587–594.
2. Годунов С. К., Забродин А. В., Иванов М. Я. и др. Численное решение многомерных задач газовой динамики. М.: Наука, 1976. 400 с.
3. Турчак Л. И. Сверхзвуковое нестационарное обтекание тел при быстром торможении // Изв. АН СССР. МЖГ. 1976. № 1. С. 166–170.

Москва

Поступила в редакцию  
12.II.1988

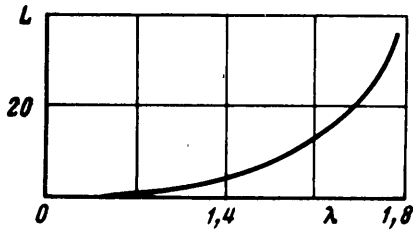
УДК 533.6.071.1

ЗОРИНА И. С., КУРШАКОВ М. Ю., ЧИРКОВ И. В.

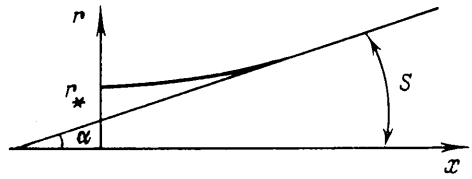
#### ПОСТРОЕНИЕ УНИВЕРСАЛЬНЫХ СВЕРХЗВУКОВЫХ СОПЕЛ С КОНИЧЕСКИМ ТЕЧЕНИЕМ

Решена задача о профилировании сверхзвуковой части сопел, создающих потоки типа «от источника», автомодельных к показателю изоэнтропы. Выведена функция, аппроксимирующая геометрию рассчитанных сопловых трактов с углами конической части до  $15^\circ$ . Приведены результаты расчетов прямой задачи сопла, подтверждающие точность полученной аппроксимации.

В технике газодинамического эксперимента широкое распространение получили сопла с коническим сверхзвуковым раструбом. Их используют при решении многих



Фиг. 1



Фиг. 2

задач: в качестве аэродинамических сопел, сопел двигательных установок, при исследовании течений с неравновесными химическими процессами. Однако используемые в настоящее время конические сверхзвуковые профили, скругленные по окружности в окрестности критического сечения, на практике не реализуют конического течения, так как в месте перехода торовой поверхности в коническую зарождаются ударные волны. Кроме того, как показано в [1], характер течения в таких соплах существенно зависит от величины показателя изоэнтропы. Ниже рассматривается возможность построения универсального профиля сопла, в котором независимо от величины показателя изоэнтропы реализуется течение типа «от источника».

Результаты решения задачи о течении в сопле можно выразить в виде зависимости коэффициента скорости  $\lambda$  от координат  $x, r$ . Остальные параметры (плотность, давление и др.) при изоэнтропическом течении совершенного газа являются функциями  $\lambda$  и показателя изоэнтропы  $\kappa$ . Построение универсального профиля сопла становится возможным благодаря тому, что перестройка течения из равномерного в коническое проводится на начальном участке, где скорость  $\lambda$  близка к единице и зависимость газодинамических параметров от показателя изоэнтропы выражена очень слабо. Наличие и протяженность области, на течение в которой величина показателя изоэнтропы почти не влияет, можно продемонстрировать на примере зависимости  $\rho = \rho(\lambda, \kappa)$  (плотность обезразмерена по критической величине  $\rho_*$ ). На фиг. 1 представлена зависимость  $L = f(\lambda)$ , где  $L = 100\Delta\rho/\rho$ ,  $\Delta\rho = \max |\rho_{1,2} - \rho_0|$ .

Максимальное отклонение плотностей газов  $\rho_1$  и  $\rho_2$  с показателями изоэнтропы  $\kappa = 1,13$  и  $1,67$  от плотности газа  $\rho_0$  со средним значением  $\kappa = 1,4$  при  $\lambda = 1,3$  не превышает  $1,5\%$ , при  $\lambda > 1,3$  влияние показателя изоэнтропы возрастает. Следовательно автоматодельность течения в сопле будет иметь место, если его перестройка, в основном будет проведена на участке  $1 < \lambda < 1,3$ , тогда как полностью она может быть завершена и при несколько больших  $\lambda$ .

Профиль сопла определялся из решения обратной задачи сопла численным методом [2]. В качестве исходных данных задавалось распределение коэффициента скорости на оси. Это распределение составлялось из двух участков для известных решений. На первом, в диапазоне  $1 < \lambda < 1,1$ , использовалось распределение, полученное из расчета «веера» волн разрежения, образующегося при истечении в вакуум однородного потока идеального газа ( $\kappa = 1,4; 1,13; 1,67$ ) из круглого отверстия, имеющего на выходе острые кромки. На втором участке при  $\lambda > 1,1$  принималось распределение соответствующее течению от источника

$$\frac{x-x_0}{x_1-x_0} = \frac{1}{\lambda} \sqrt{(\kappa-1) \left( \gamma - \frac{\lambda^2}{2} \right)} \left[ \frac{\lambda^2 \gamma^{-1}}{x+1-(\kappa-1)\lambda^2} - \frac{1}{\gamma(\kappa-1)} \right]^{\gamma} \quad (1)$$

Здесь  $\kappa$  — показатель изоэнтропы,  $\gamma = 1/2(\kappa+1)/(\kappa-1)$ ,  $x_0$  — координата вершины конуса поверхности сопла, а  $x_1$  координата, в которой  $\lambda = 1$  при коническом течении.

Значения  $x_0$  и  $x_1$  подбирались из условия равенства скоростей и их производных по  $x$  на границе участков (при  $\lambda = 1, 1$ ). Полученное таким образом распределение скорости по оси использовалось для решения обратной задачи сопла. В результате расчетов для  $\kappa = 1, 4$  получены линии тока, каждая из которых может быть принята за стенку сопла.

Для удобства использования результатов расчетов при профилировании сопел проведена аппроксимация координат линий тока функцией

$$r = 1 + x \operatorname{tg} \alpha - A \operatorname{tg} \alpha \operatorname{arctg} \left[ \frac{x}{A} + B \left( \frac{x}{A} \right)^n \right] \quad (2)$$

Здесь  $r$  — радиус профиля сверхзвуковой части сопла, отнесенный к радиусу критического сечения;  $x$  — координата сечения сопла, отнесенная к радиусу критического сечения;  $\alpha$  — угол наклона конической части сопла.

При  $x=0$  радиус критического сечения равен единице. Можно убедиться, что  $dr/dx=0$ , т. е. все кривые, заданные этой функцией, имеют горизонтальную касательную в начале координат. При достаточно больших  $x$  контур сопла вырождается в

прямую линию

$$r = 1 - \pi/2 A \operatorname{tg} \alpha + x \operatorname{tg} \alpha \quad (3)$$

наклоненную к оси под углом  $\alpha$ .

Для того чтобы подобрать коэффициенты  $A$ ,  $B$  и  $n$ , запишем уравнение (3) в виде (фиг. 2)

$$r = (c+x) \operatorname{tg} \alpha, \quad c = -x_0/r_*$$

откуда  $1 - \pi/2 A \operatorname{tg} \alpha = c \operatorname{tg} \alpha$  или

$$A = 2/\pi (\operatorname{ctg} \alpha - c) \quad (4)$$

Расход газа для произвольного сечения конического потока определяется выражением

$$Q = \rho W S = \frac{S q}{4\pi r^2} = q \sin \frac{\alpha}{2}$$

где  $q$  — интенсивность источника,  $S = 4\pi r^2 \sin^2 \alpha/2$  — площадь части сферы, ограниченной конусом сверхзвукового раструба. Для расхода газа через критическое сечение имеем  $Q = \rho_* W_* \pi r_*^2$  приравнявая расходы, получаем

$$r_* = \sqrt{\frac{q}{\pi \rho_* W_*}} \sin \frac{\alpha}{2}$$

В расчетах подкоренное выражение выбрано равным единице. Поэтому формула (4) записывается в виде

$$A = 2/\pi (\operatorname{ctg} \alpha + x_0 / \sin^2 \alpha/2)$$

Координаты  $x_0$ , взятые из расчетов, хорошо аппроксимируются параболой относительно  $y = \sin^2 \alpha/2$

$$x_0 = 3,686 y^2 + 0,0048 y - 0,48$$

После этого можно записать окончательную формулу для вычисления коэффициента  $A$

$$A = \frac{2}{\pi} \left( \operatorname{ctg} \alpha + 3,686 \sin^2 \frac{\alpha}{2} - \frac{0,48}{\sin^2 \alpha/2} + 0,0048 \right)$$

Коэффициенты  $B$  и  $n$  подбираются из условия достижения необходимой точности аппроксимации координат профиля.

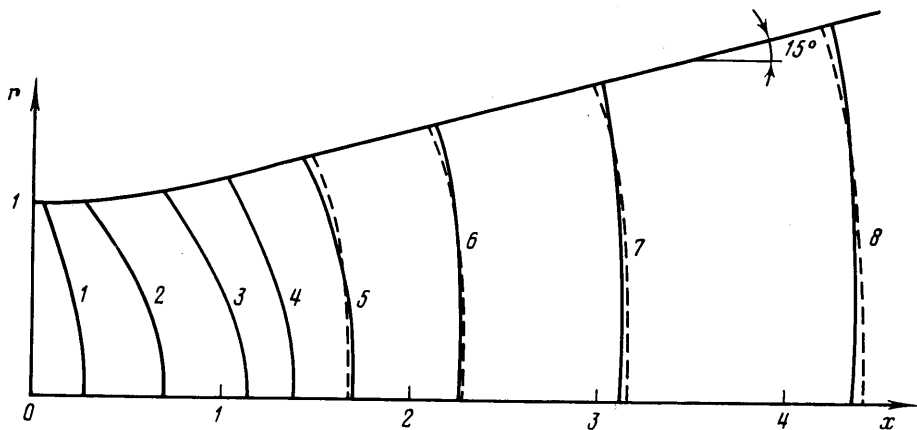
Оказалось, что они не зависят от угла конической части раструба сопла:  $B = 0,03$  и  $n = 4$ . Таким образом, аппроксимирующая функция (2) принимает окончательный вид

$$r = 1 + x \operatorname{tg} \alpha - A \operatorname{tg} \alpha \operatorname{arctg} \left[ \frac{x}{A} + 0,03 \left( \frac{x}{A} \right)^4 \right] \quad (5)$$

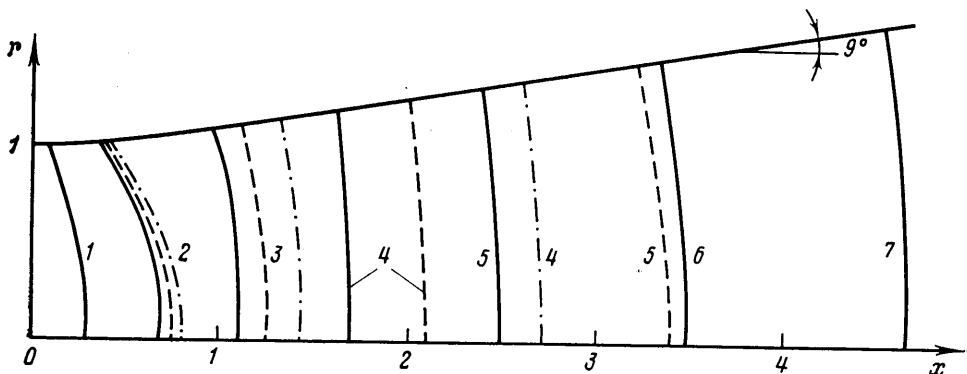
$$A = \frac{2}{\pi} \left( \operatorname{ctg} \alpha + 3,686 \sin^2 \frac{\alpha}{2} - \frac{0,48}{\sin^2 \alpha/2} + 0,0048 \right)$$

В связи с тем что профили сопел, полученные из уравнения (5), являются аппроксимацией точных решений, которая распространяется на весь диапазон показателей изэнтропии ( $1,13 \leq \kappa \leq 1,67$ ), необходимо провести исследования течений, которые реализуются в получаемых таким способом соплах. С этой целью были получены решения прямой задачи сопла методом сквозного счета [3]. Варьировался угол полураствора конической части раструба и показатель изэнтропии  $\kappa$ . На фиг. 3 показаны линии  $\lambda = \text{const}$  (сплошные) для течения в универсальном сопле с углом полураствора конической части  $\alpha = 15^\circ$  и те же линии (штриховые) для течения от источника, полученные из (1). Цифрами 1–8 обозначены линии  $\lambda = 1,1; 1,5; 2; 2,3; 2,6; 3; 3,4; 3,8$ . Соответствие результатов, полученных из решения прямой и обратной задач сопла, с одной стороны, подтверждает достоверность расчетов, а с другой — говорит о высоком качестве аппроксимации. Максимальные отклонения результатов не превышают 1%, что соответствует точности расчетных схем.

Для профиля сопла с углом  $9^\circ$  были проведены расчеты прямой задачи сопла для газов с показателями изэнтропии  $\kappa = 1,13; 1,4; 1,67$ ; обозначенные соответственно сплошными, штриховыми и штрихпунктирными линиями (фиг. 4). Как видно, характер течения сохраняется при изменении показателя изэнтропии и качество потока не ухудшается. Цифрам 1–7 отвечают значения  $\lambda = 1,1; 1,5; 2; 2,5; 3; 3,5; 4$ .



Фиг. 3



Фиг. 4

Расчеты поля течения в соплах, профили которых описывает аппроксимирующая функция, подтверждают, что характер течения, начиная с  $x=1,5$ , совпадает с течением типа «от источника» с точностью, соответствующей вычислительному алгоритму (не ниже 1%) при углах до  $15^\circ$  и показателях изоэнтропы в диапазоне  $\kappa=1,13-1,67$ .

Авторы благодарны А. Н. Ганжелю за предоставление программы расчета сверхзвуковых течений.

#### ЛИТЕРАТУРА

1. Дроздова Н. В., Пирумов У. Г., Росляков Г. С., Сухоруков В. П. Сверхзвуковые течения в конических соплах // Некоторые применения метода сеток в газовой динамике. Вып. VI. Течения газа в соплах и струях. М.: Изд-во МГУ. 1974. С. 129-240.
2. Пирумов У. Г. Расчет течения в сопле Лавалья // Изв. АН СССР. МЖГ. 1967. № 5. С. 10-22.
3. Ганжело А. Н. Расчет плоских и осесимметричных сверхзвуковых течений невязкого газа методом сквозного счета второго порядка точности // Уч. зап. ЦАГИ. 1986. Т. 17. № 2. С. 27-32.

Москва

Поступила в редакцию  
3.III.1988.